

**25 lat zespołów pracujących  
w tematyce termografii  
i termometrii w podczerwieni**



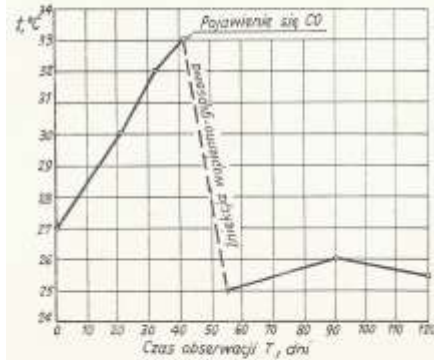
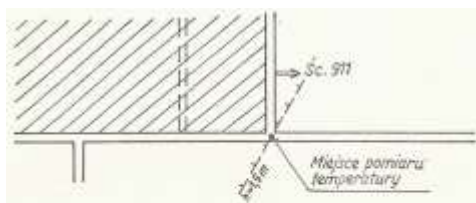
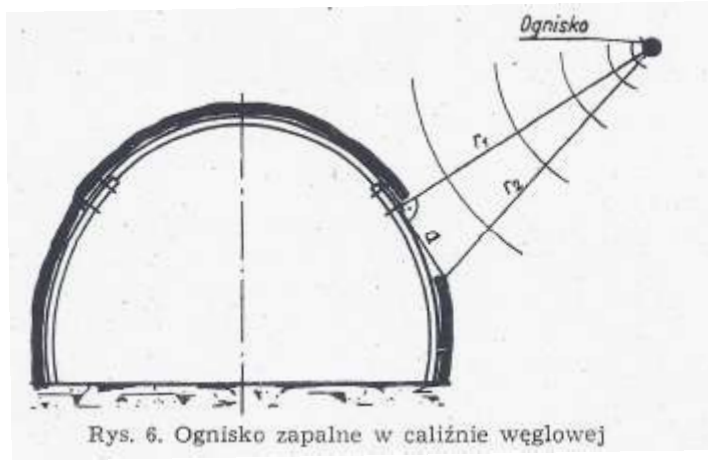
**Dr Bronisław Kajewski  
Mgr inż. Mieczysław Wilczyński**

*Mówcy powinni mieć  
na uwadze nie tylko to,  
by wyczerpać temat ale także  
by nie wyczerpać słuchaczy.*

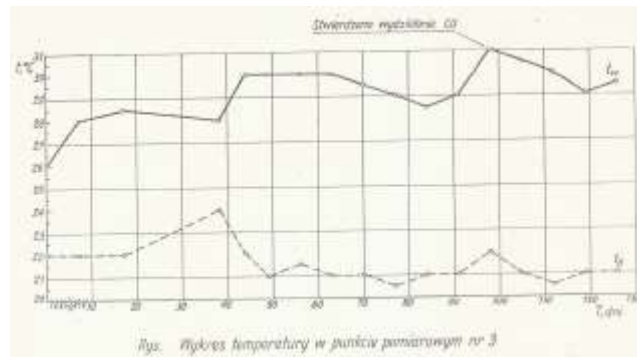
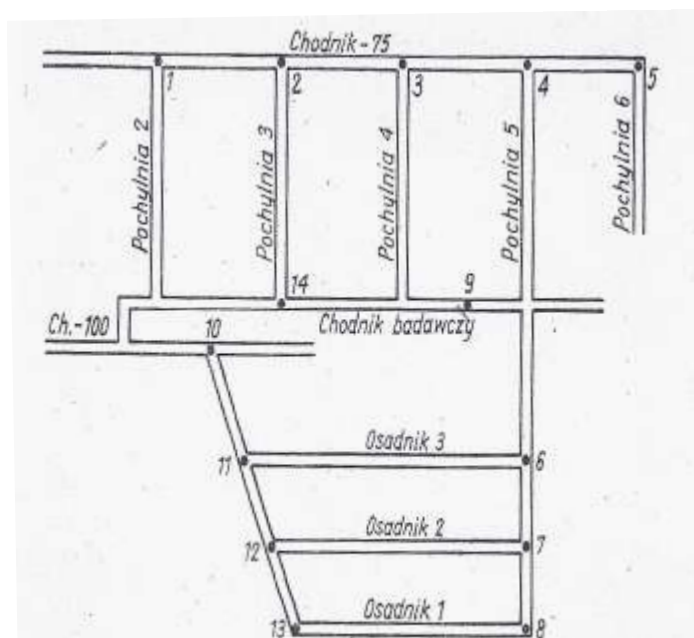
Winston Churchill



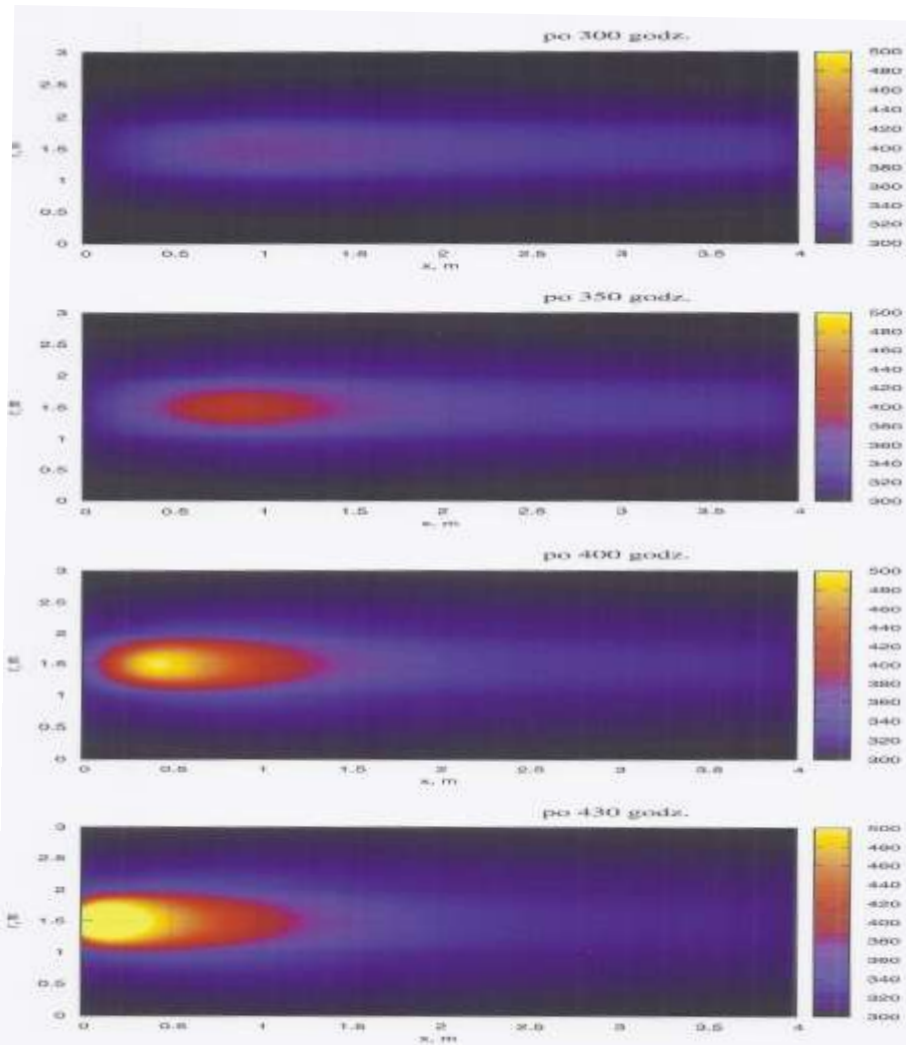




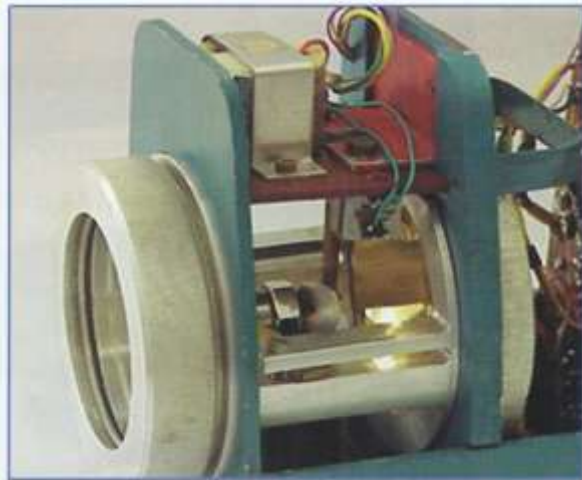
Rys. Szkic uskoku oraz wykres zmian temperaturowych calizny węglowej w rejonie uskoku



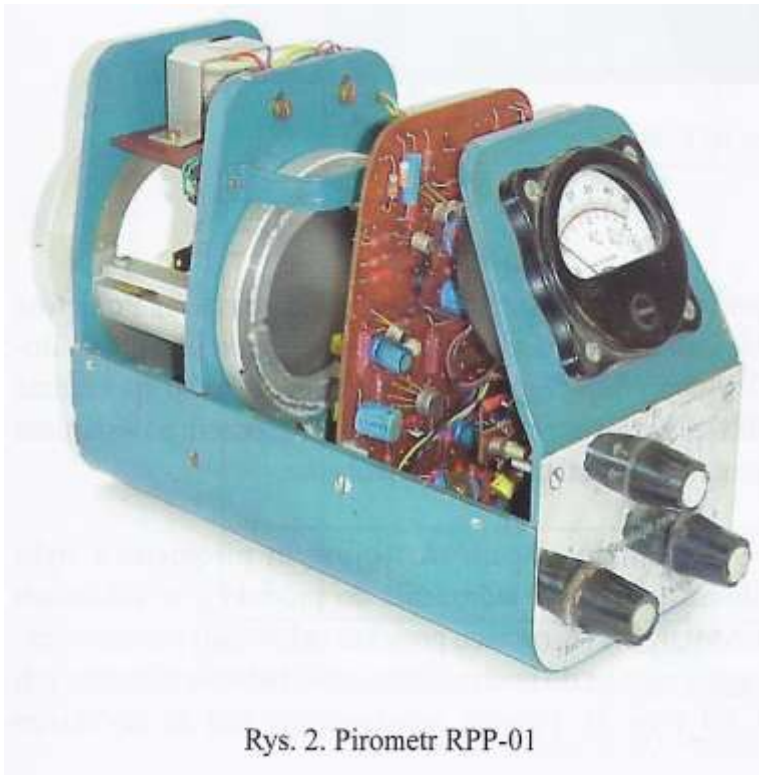
Rys. Wykres temperatury w punkcie pomiarowym nr 3



Rys. Zagrzewanie fragmentu złożu węgla z pokładu 405 kopalni Borynia o grubości  $H_0 = 1\text{m}$ , przy prędkości przepływu  $v = 0,0005 \text{ m/s}$  i zawartości tlenu w gazach 19% (przekrój przez złożo).



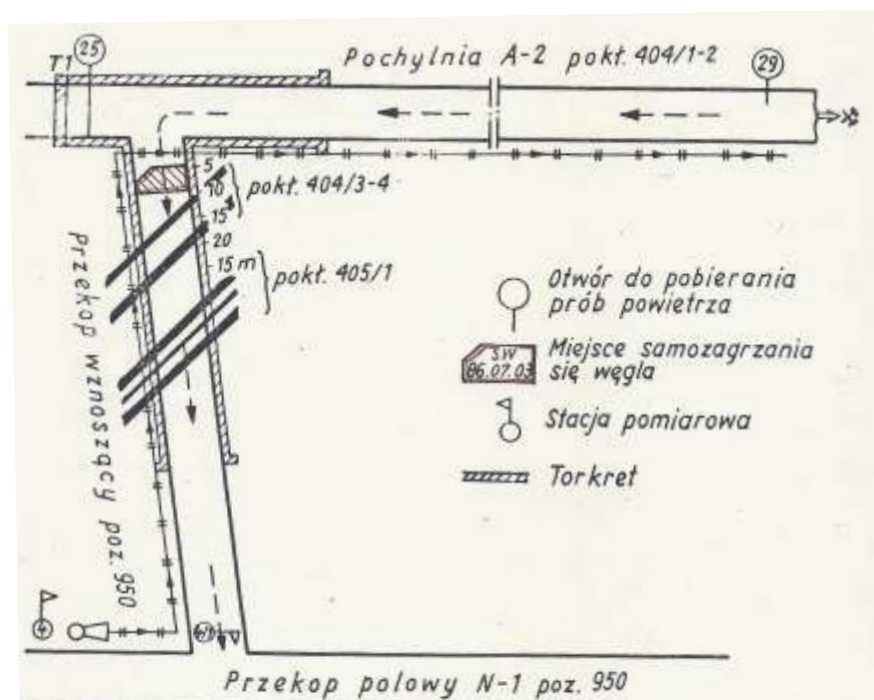
Rys. 3. Detektor z modulatorem



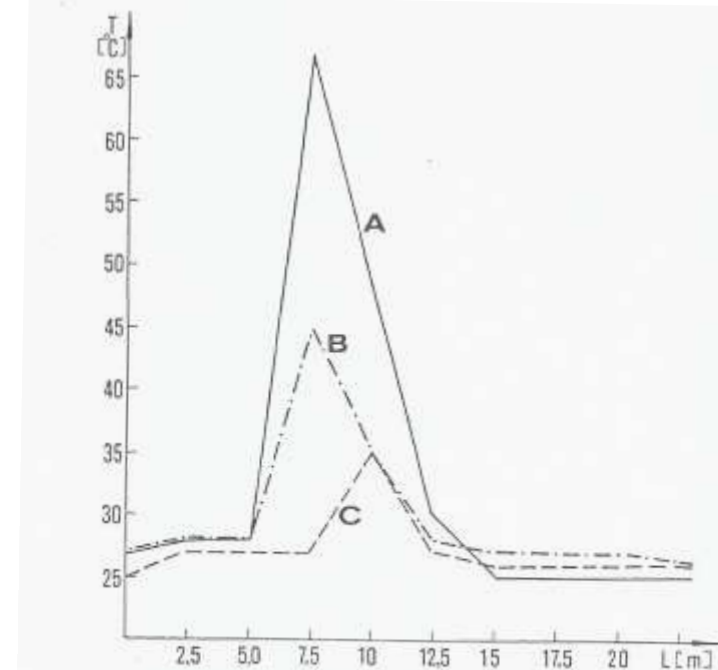
Rys. 2. Pirometr RPP-01



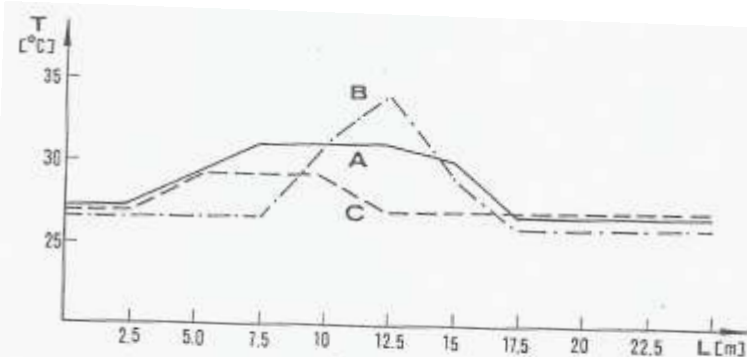
Rys. 4. Pirometr RPP-02



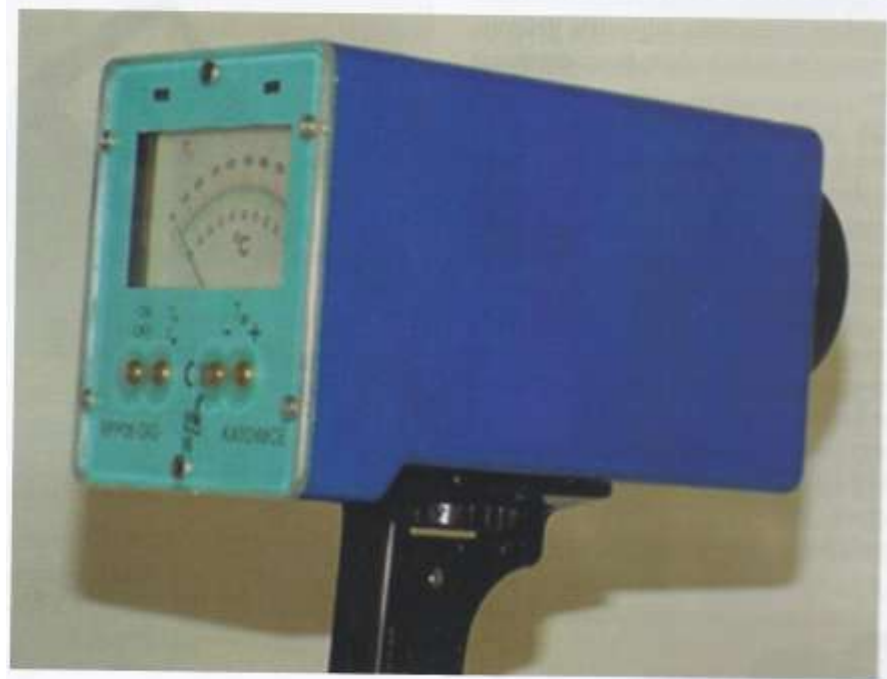
Rys. 4 Przekop wznoszący z poz. 950 - rejon samozagrzania węgla



Rys. 5: Zmiany temperatury  $T$  na powierzchni węgla w chodniku kopalni "Marcinek" w dniu 3 lipca 1986 r. według wskaźników RPP-02, w zależności od długości chodnika  $L$ ; A - strop chodnika; B, C - odpowiednio, prawy i lewy odcinek wysokości 2/3 chodnika.



Rys. 6. Zmiany temperatury  $T$  na powierzchni węgla w chodniku kopalni "Marcinek" w dniu 15 lipca 1986 r. według wskaźników RPP-02, w zależności od długości chodnika  $L$ ; Pozostałe objaśnienia - patrz rys. 5.



Rys. 6. Pirometr RPP-06

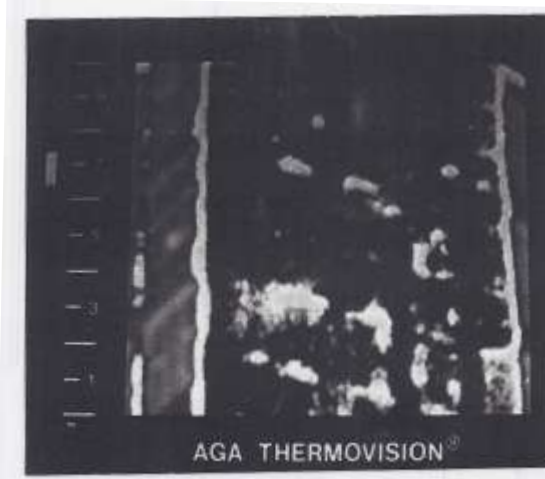


Rys. 11. Pirometr RPP-07:  
1 – obiektyw, 2 – wskaźnik laserowy, 3 – przycisk włącznika lasera, 4 – wyświetlacz graficzny, 5 – joystick sterujący pracą pirometru,  
6 – przycisk wprowadzania pomiaru do pamięci, 7 – główny włącznik pirometru, 8 – gniazdo USB do transmisji danych



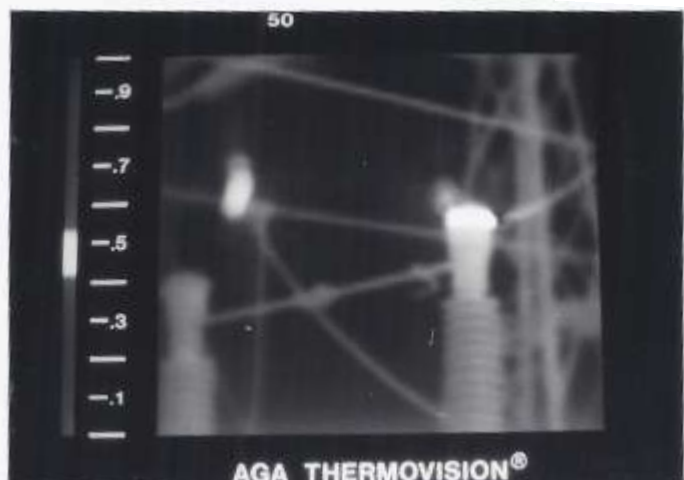


R-11 6 kV, poziom kablowy  
pole 12, faza S, temp. 30,3°C



AGA THERMOVISION®

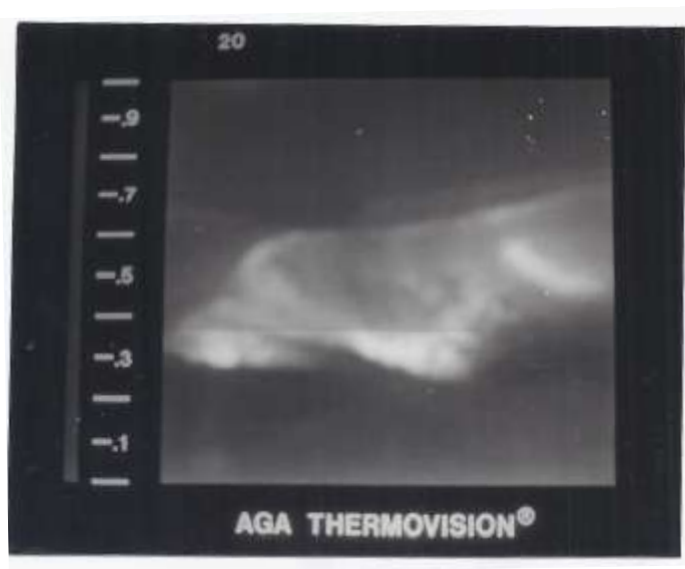
Rys. 29       $t = 9^{\circ}\text{C}$

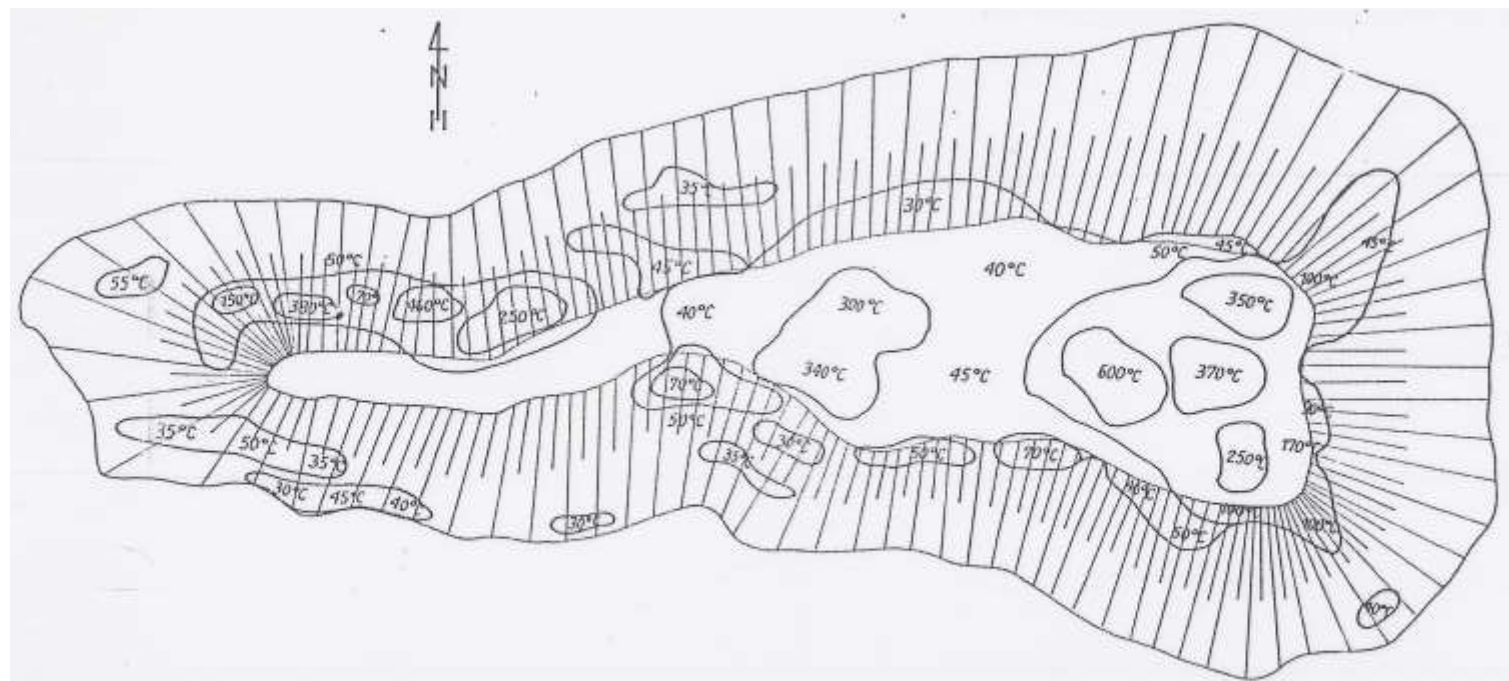


AGA THERMOVISION®



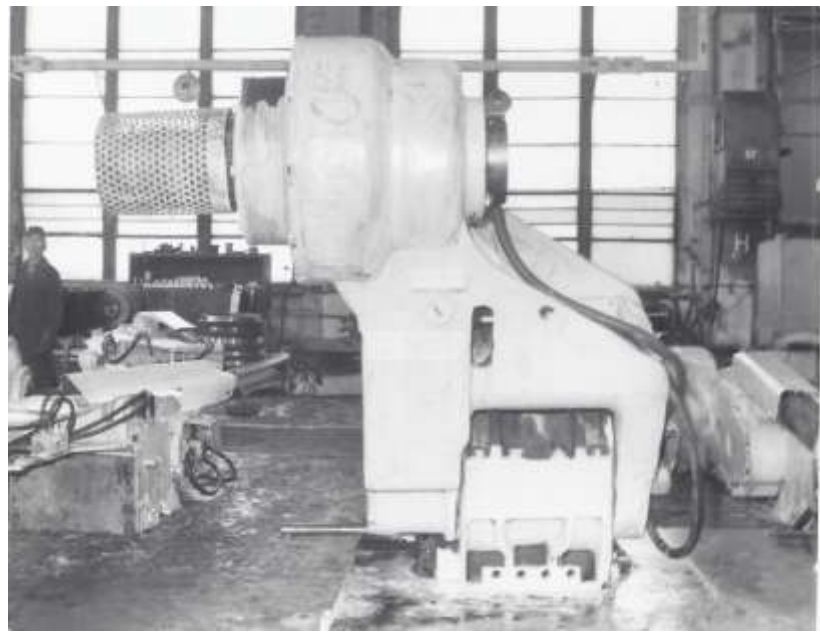
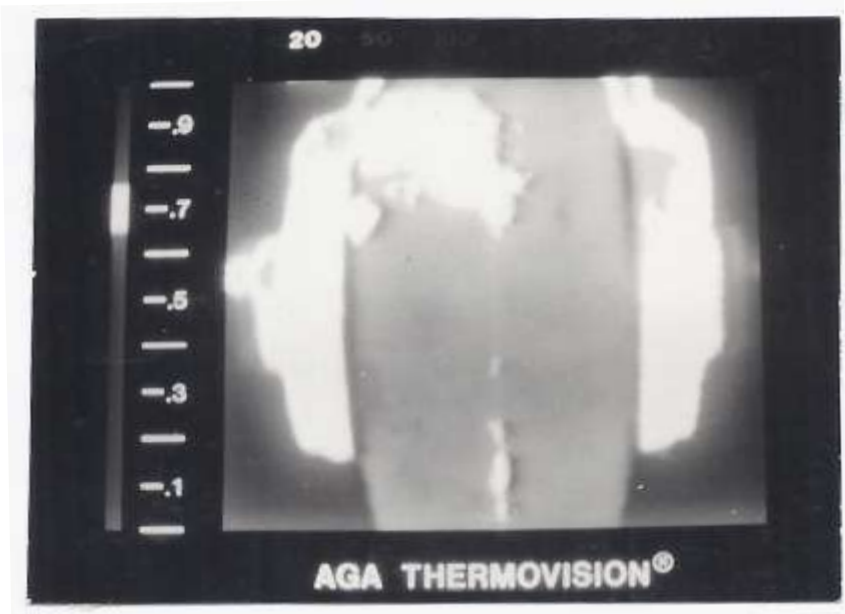
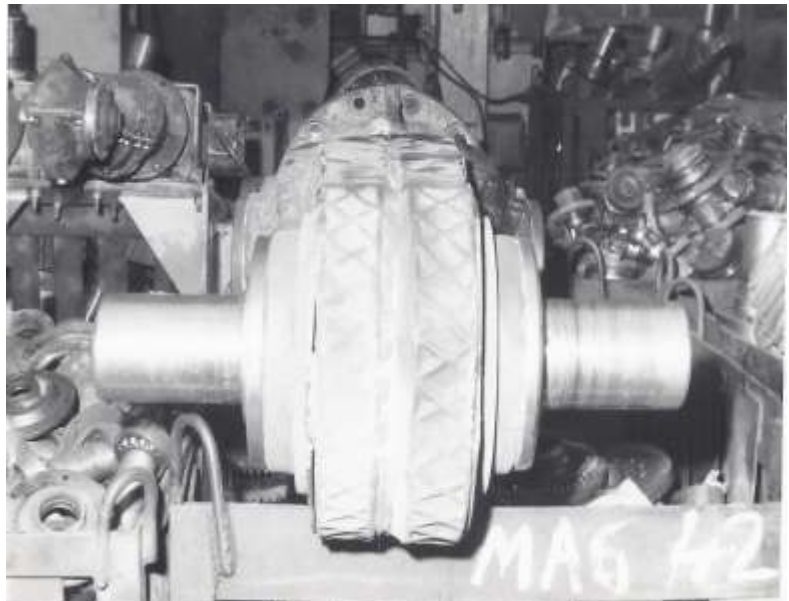
AGA THERMOVISION®





Rys Rozkład temperatur na hałdzie 1/R w Mikulczycach - KWK „Pstrowski”  
(dnia 6.11.84r)

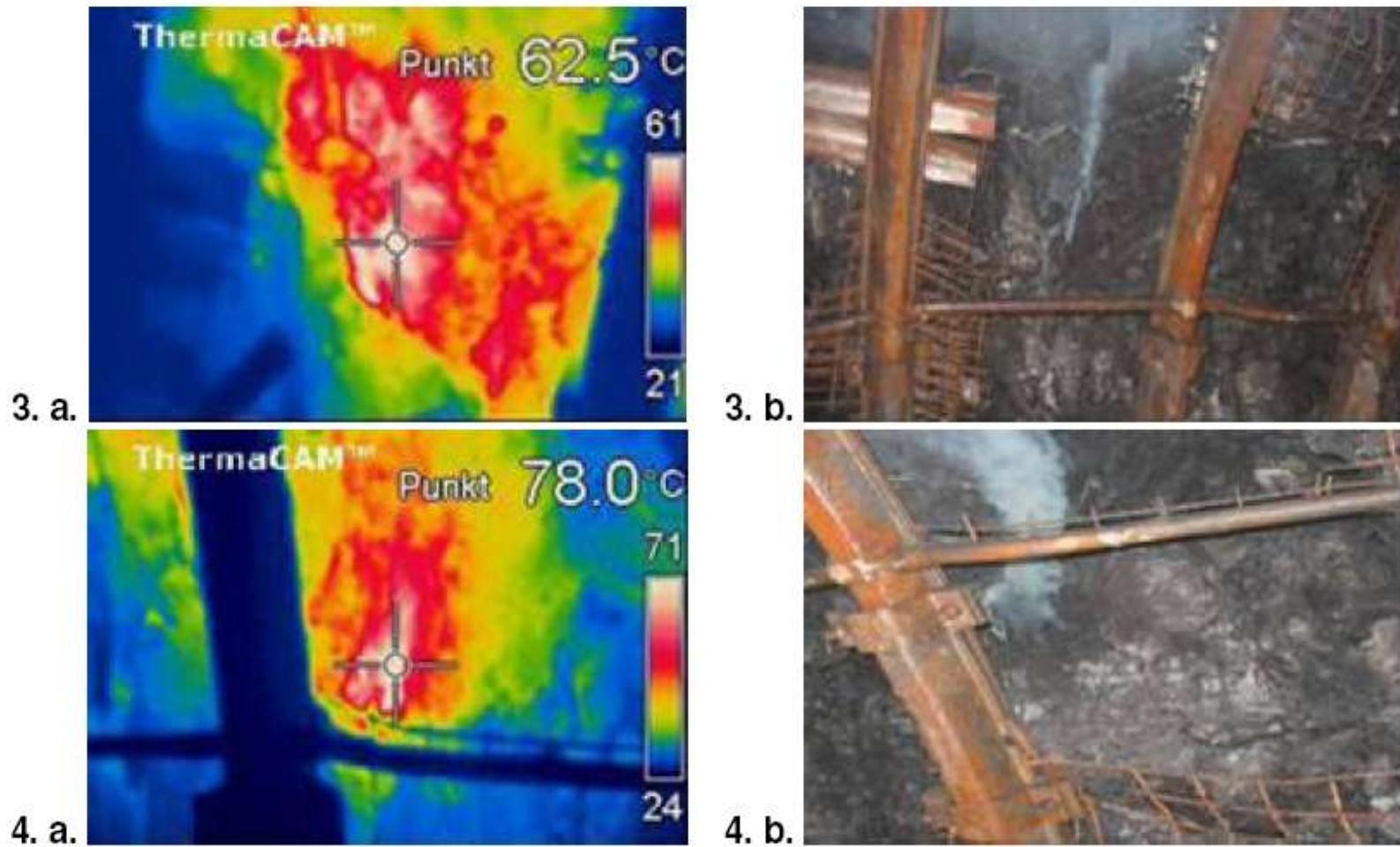




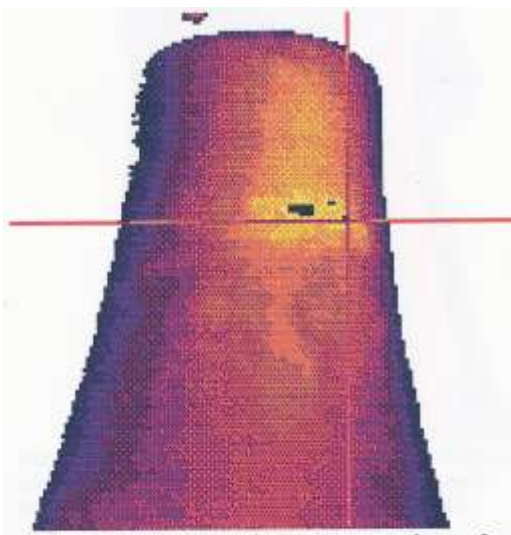


 $t_p = 24^\circ\text{C}$  $t_W = 30,5^\circ\text{C}$

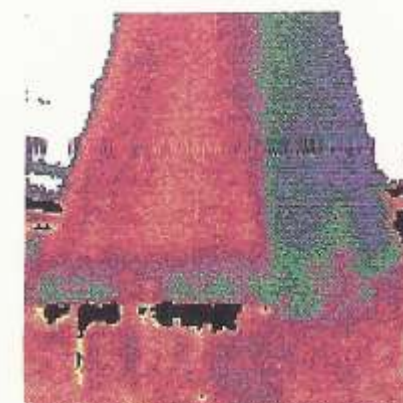
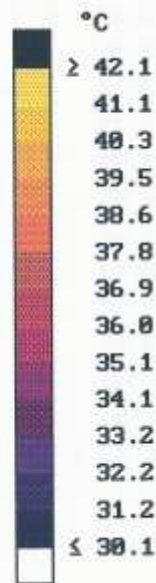




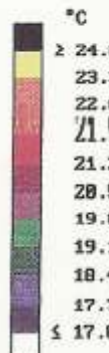
Fot. 3a; 4a. Strefy z wysoką temperaturą w ociosie wyrobiska chodnikowego



Rozkład temperatury na powierzchni chłodni kominowej nr1, widzianej ze stanowiska pomiarowego nr IV.



E1. "JAWOKZNO III" - rozkład temperatury na powierzchni chłodni nr 3 - wyłączona z eksploatacji prawa strona chłodni.

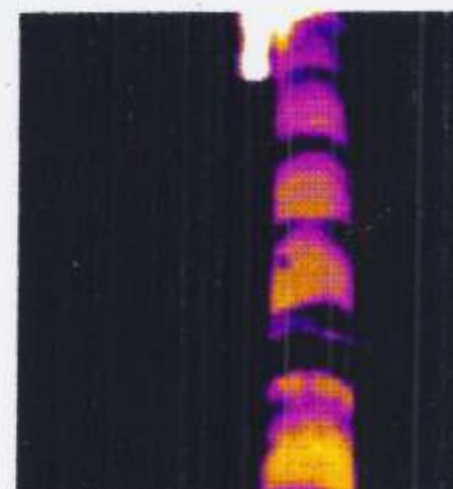
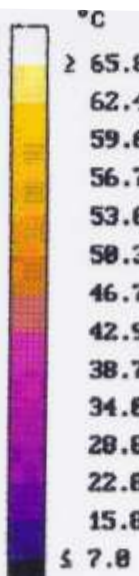
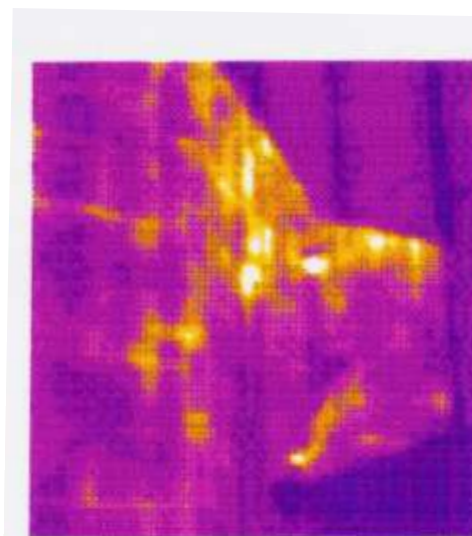


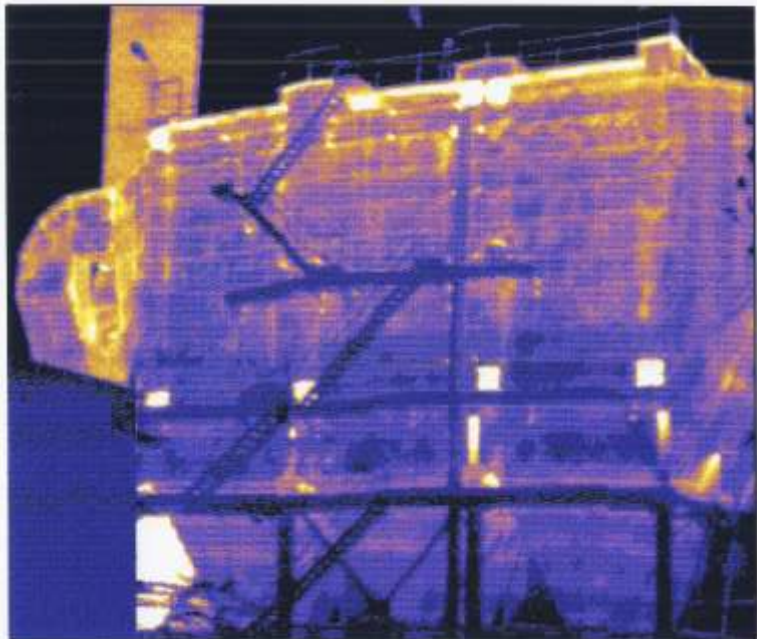
18886288.873  
1992-APR-27  
09:09:40



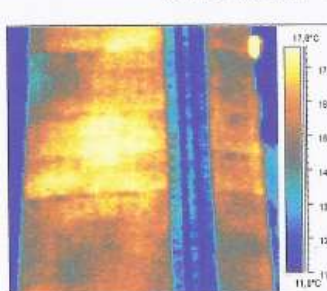
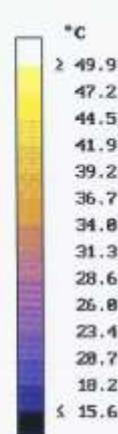
SERIAL NO : 71831  
Amb. Temp (C): 17.8  
Emissivity : .92  
Distance (m): 100.0  
Lens : 28  
Filter : SRX  
Aper. : 8  
Level : 139  
Sens. : 1

AGEMA

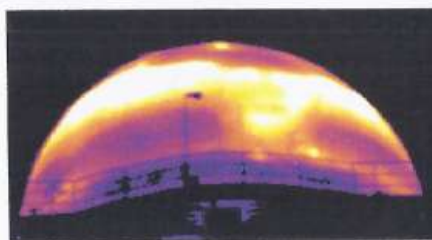
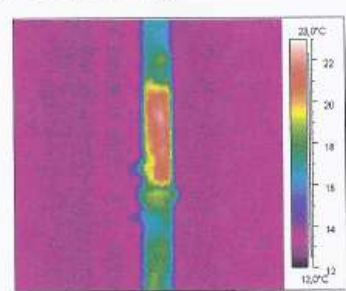




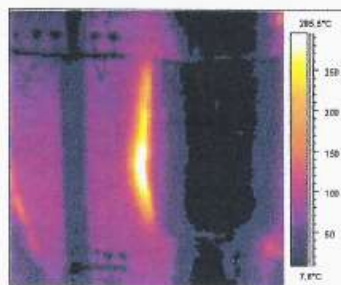
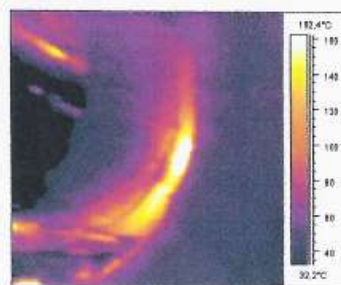
Boczna ściana elektrofiltru.



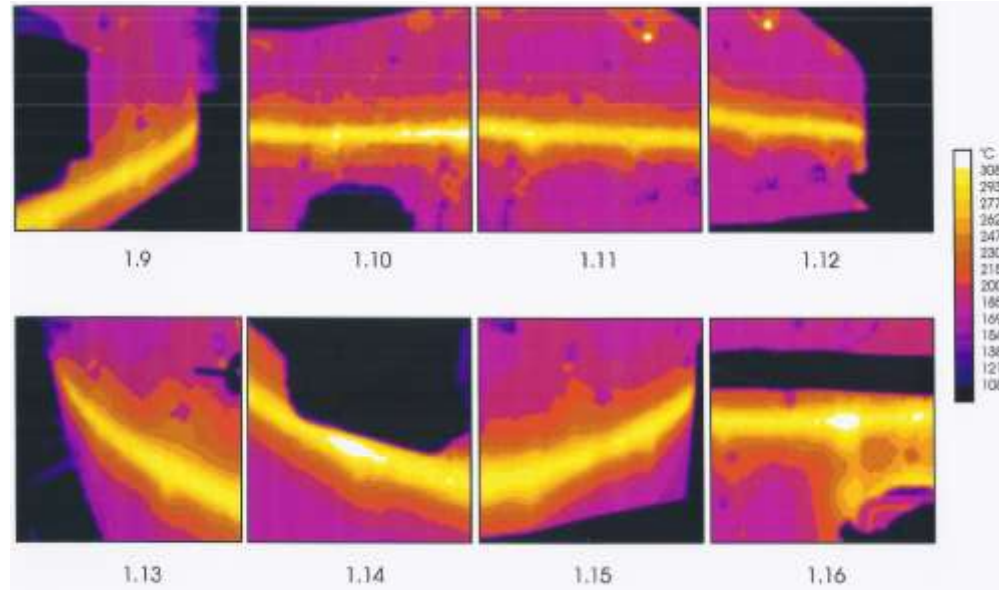
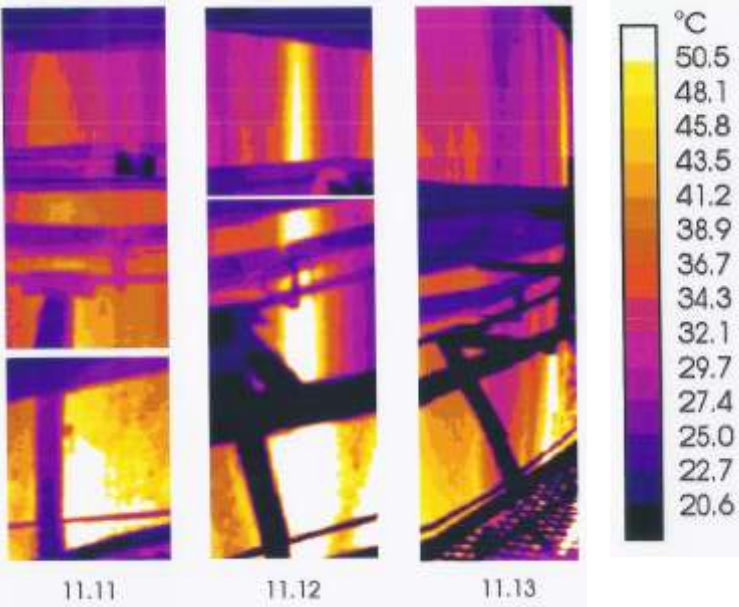
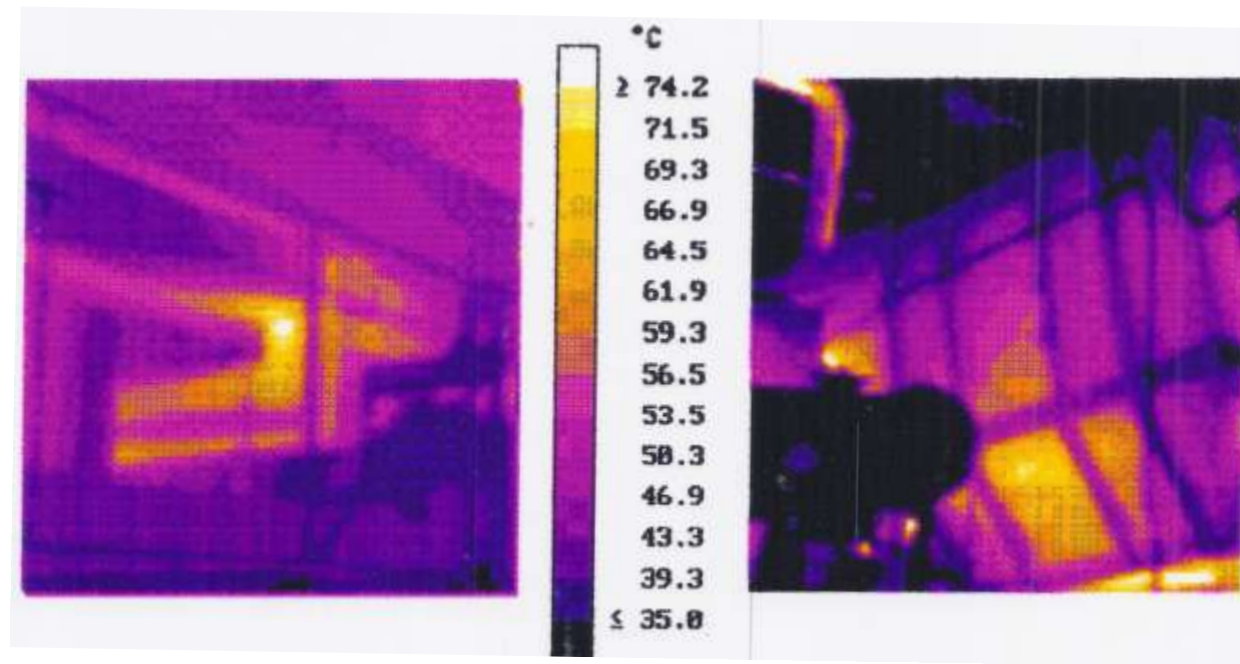
termodiagnostyka kominów



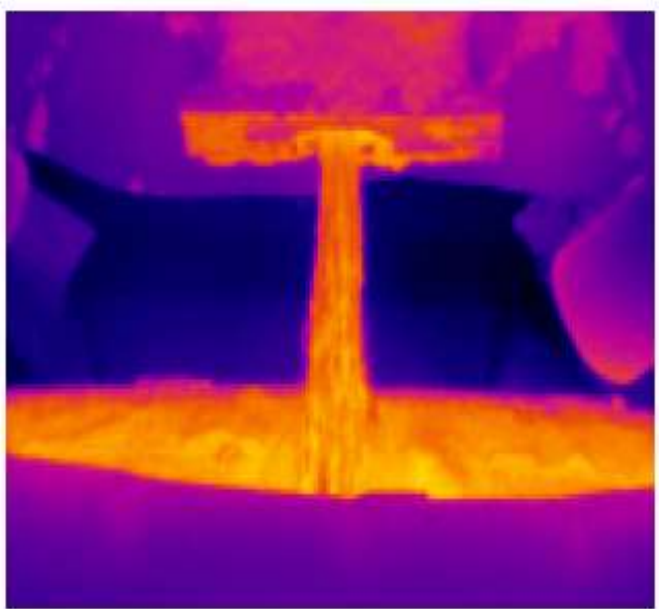
kopuła nagrzewnicy Cowpera



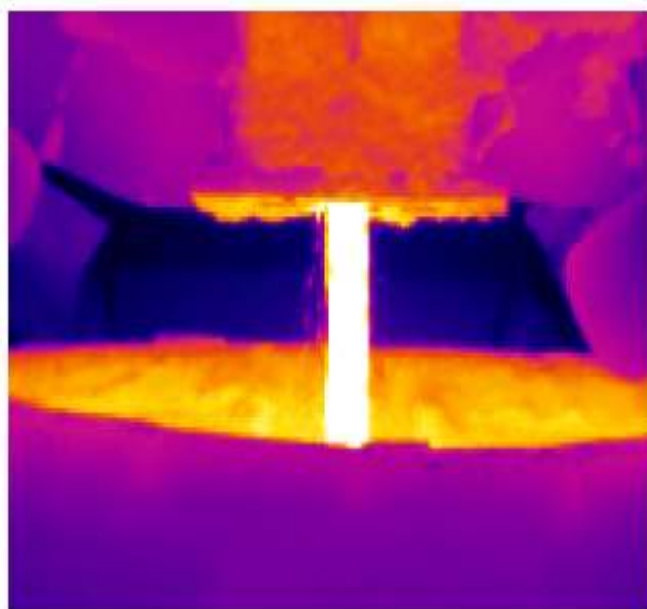
wady w izolacji turbiny parowej



Szyb gazowy - poziom 12.1

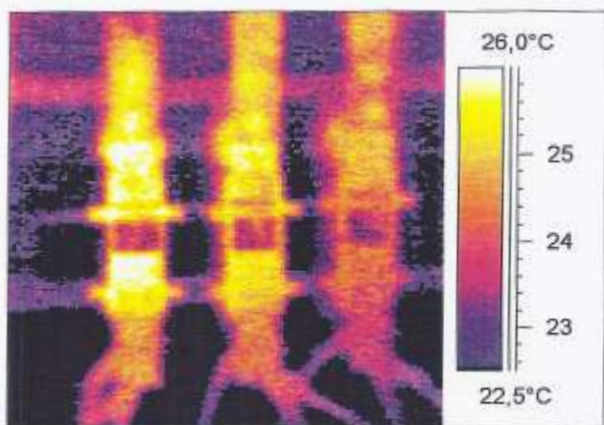


Rys. 2.1. Ciekły metal wypływający z otworu spustowego

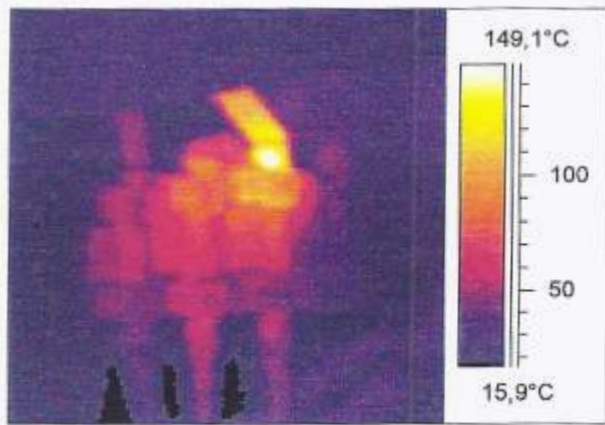


Rys. 2.2. Żużel pojawiający się w otworze spustowym

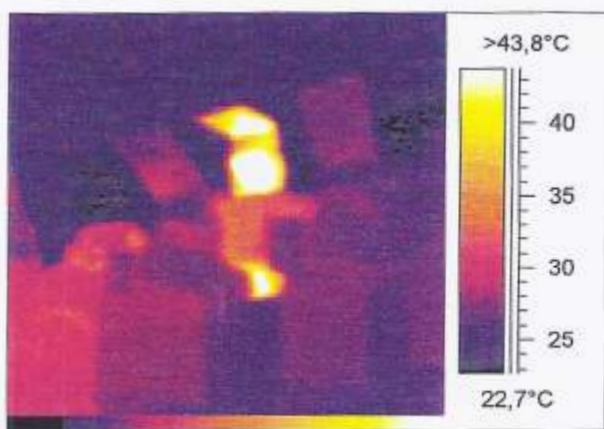
b)



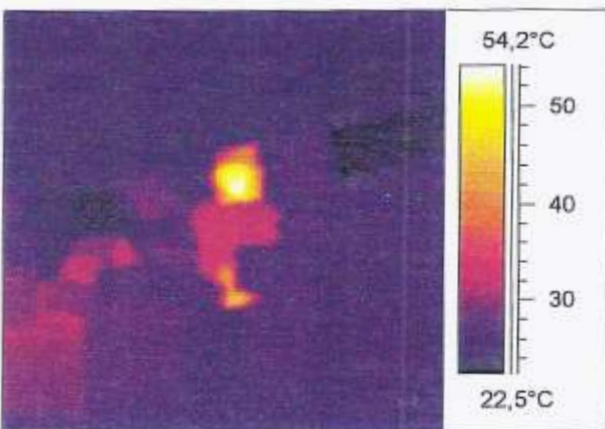
pole nr11 - odłącznik szynowy - faza R



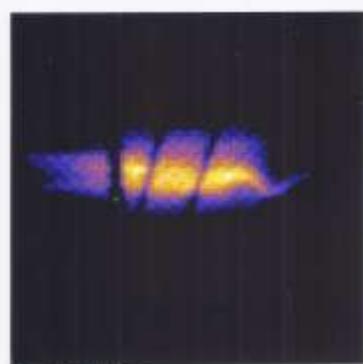
pole nr9 - bezpiecznik - faza T



pole nr2 - bezpiecznik - faza S

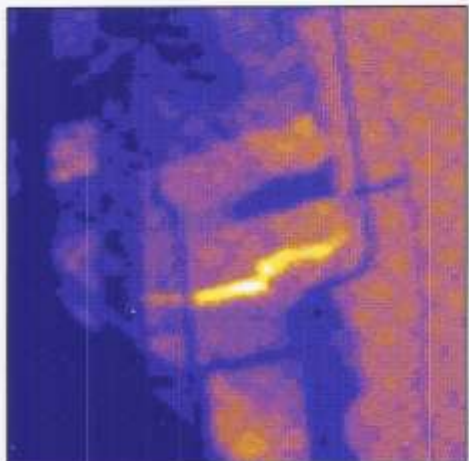
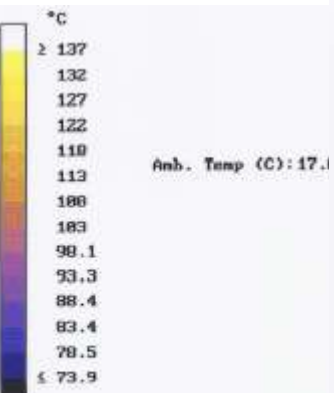


pole nr2 - przekładnik prądowy - faza S

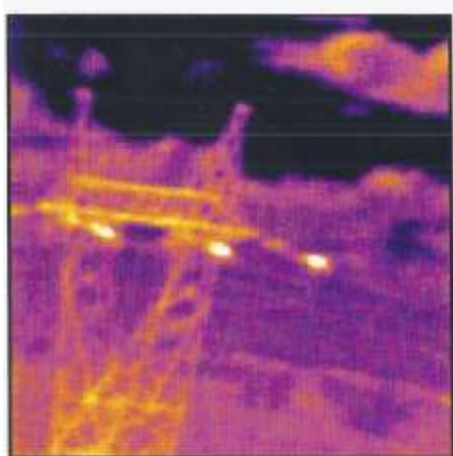
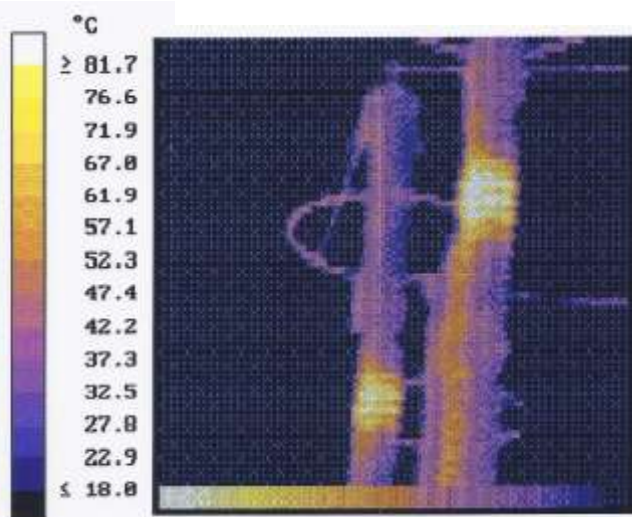


RYSUNEK.6

Połączenie elastyczne górnego toru  
prądowego na wysokości zespołu 2.



RYSUNEK.4

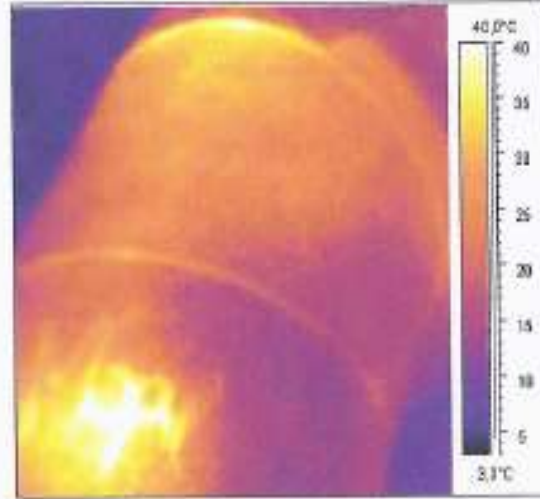
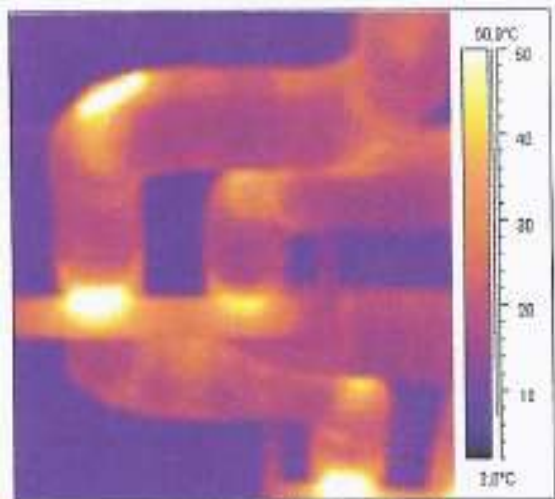


SERIAL NO: 71031

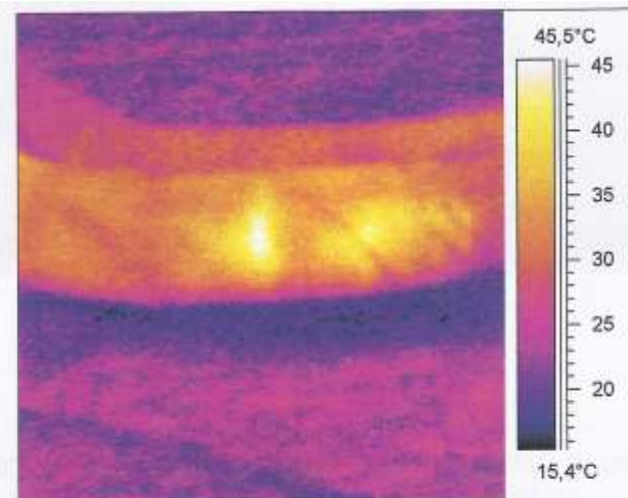
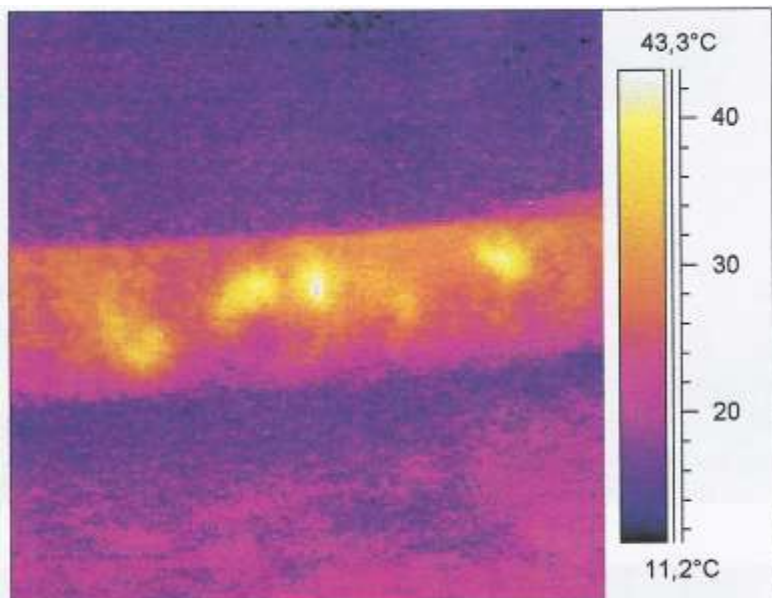


linia: ŁAGISZA - BLACHOWNIA - 220 kV  
nr słupa: 137 (M)  
obciążenie linii: 100 MW - 24%

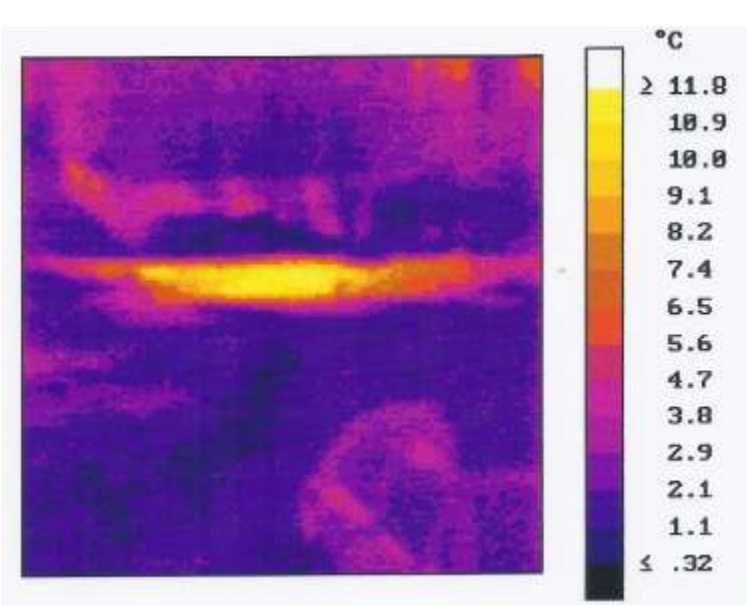
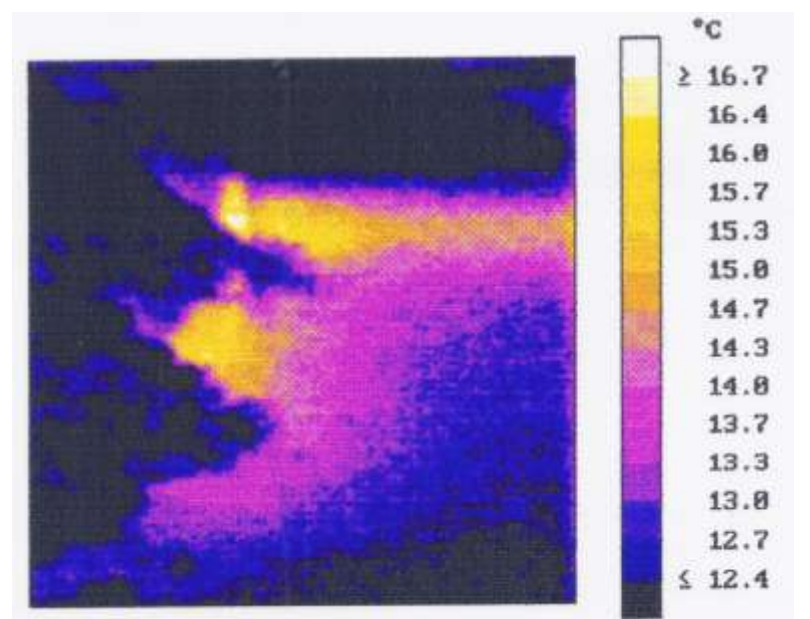
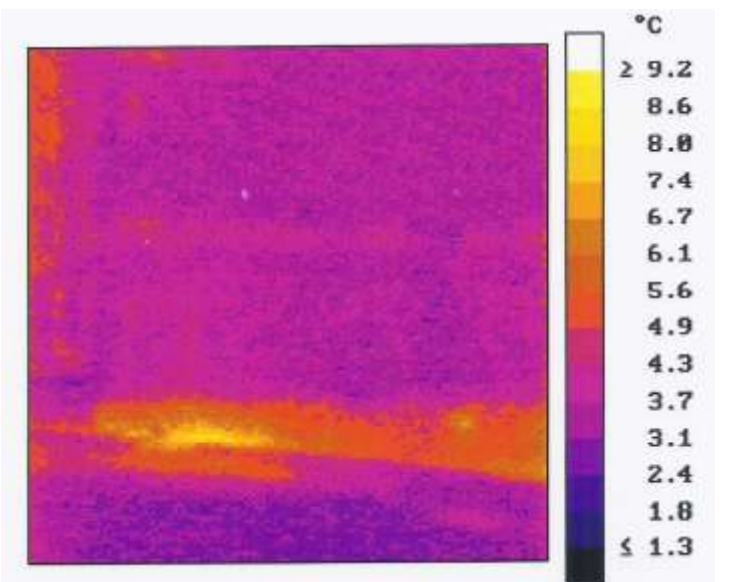
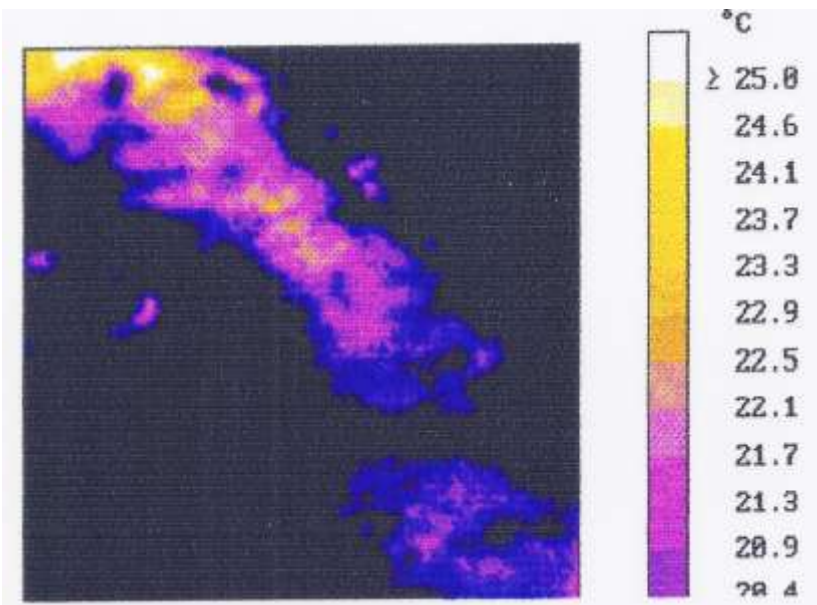
data pomiaru: 21.07.94  
przyrost temperatury: 9 + 11 °C  
temperatura otoczenia: 20 °C

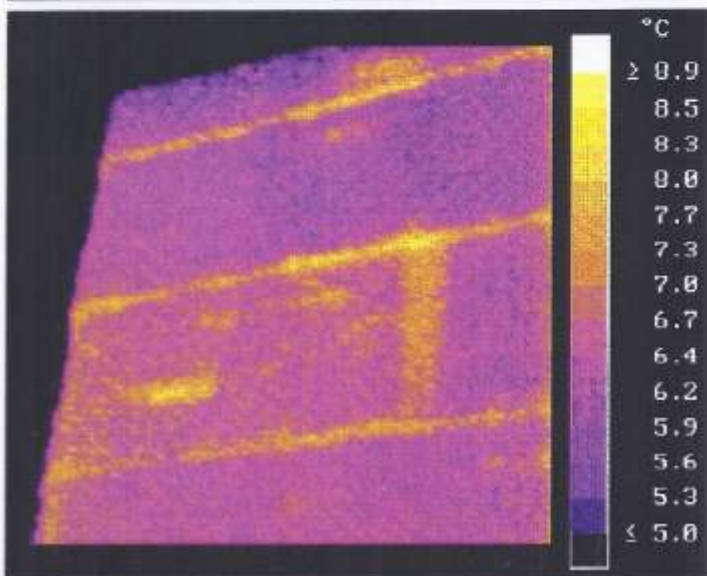
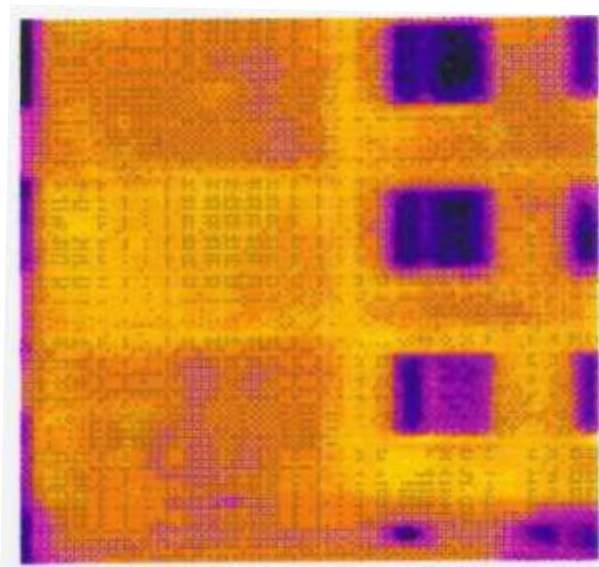
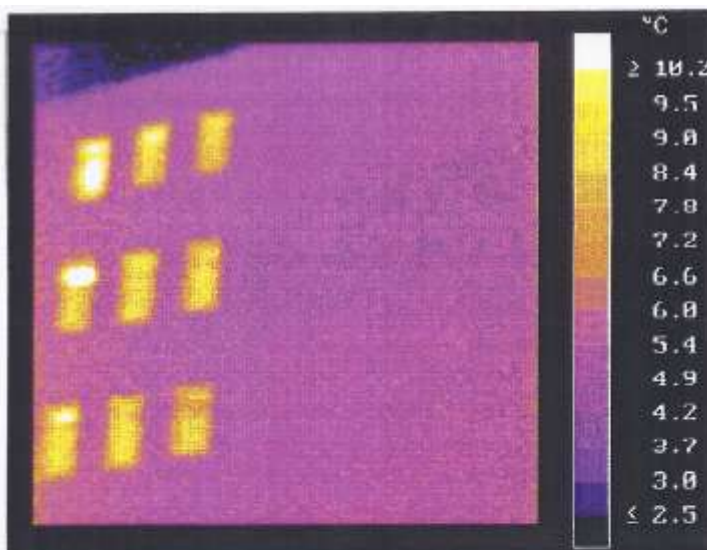
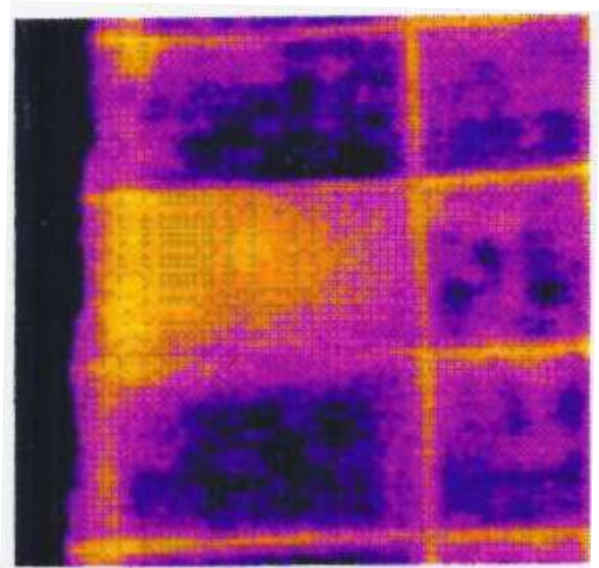


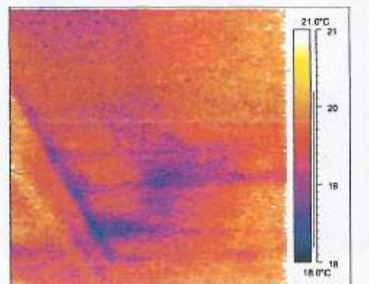
uszkodzona izolacja ciepłociągów



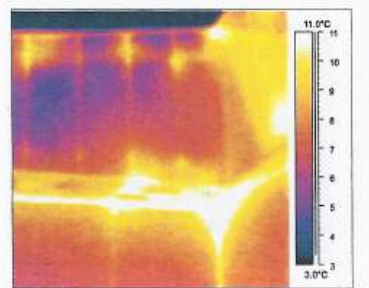
Rys.3 Termogramy wybranych fragmentów magistrali ciepłowniczej PEC Jaworzno za komorą KZ2a.



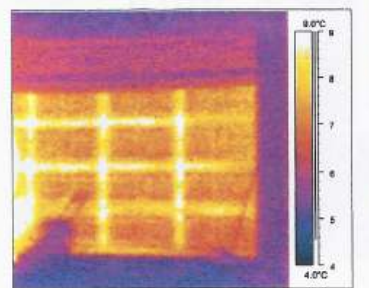




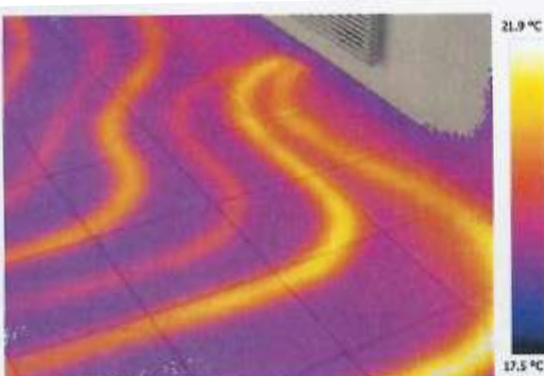
zawilgocenie sufitu



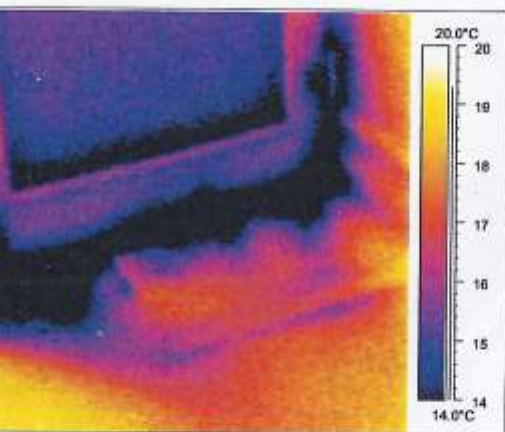
błędy w wykonaniu ściany zewnętrznej



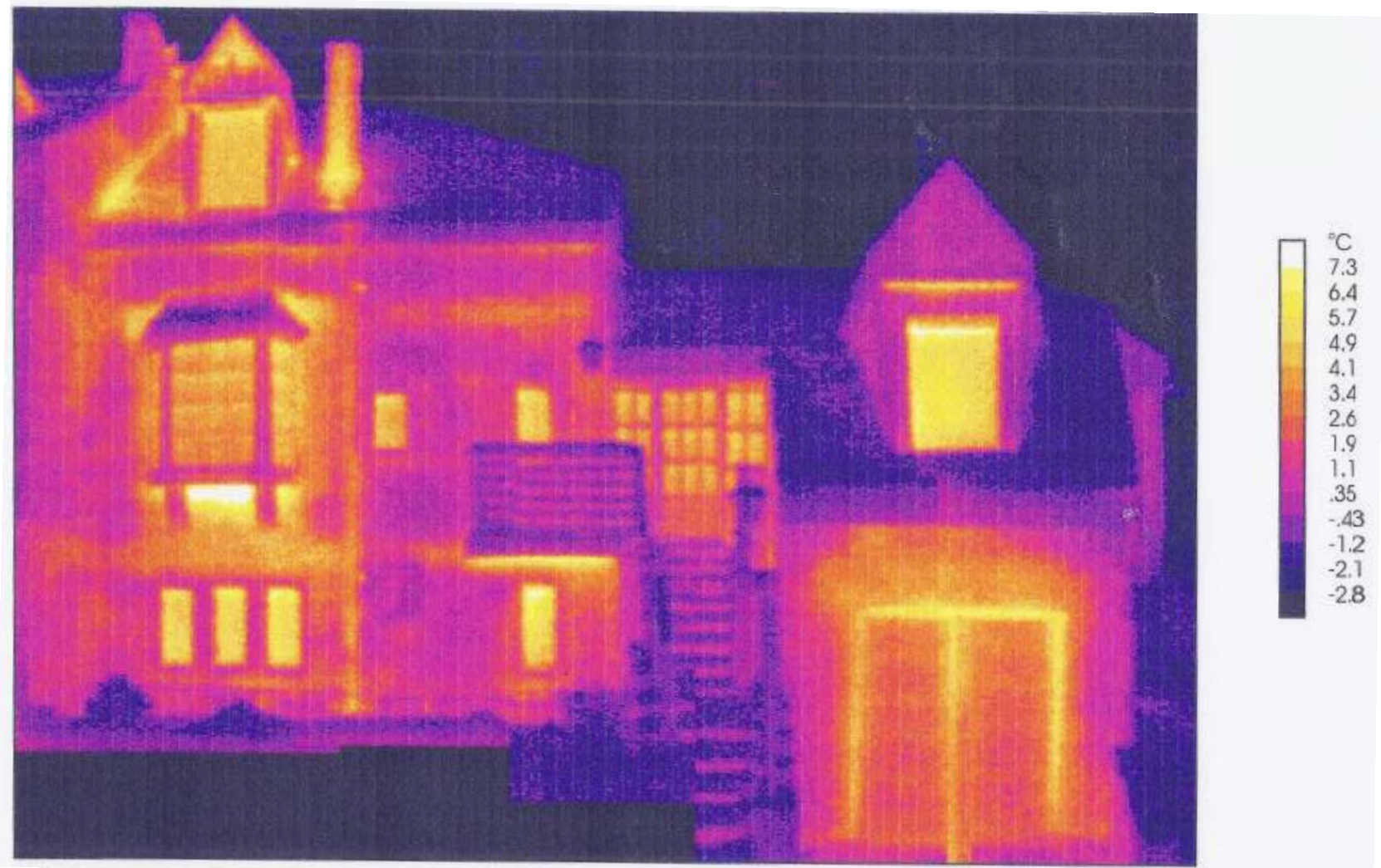
wadliwa konstrukcja drzwi garażowych

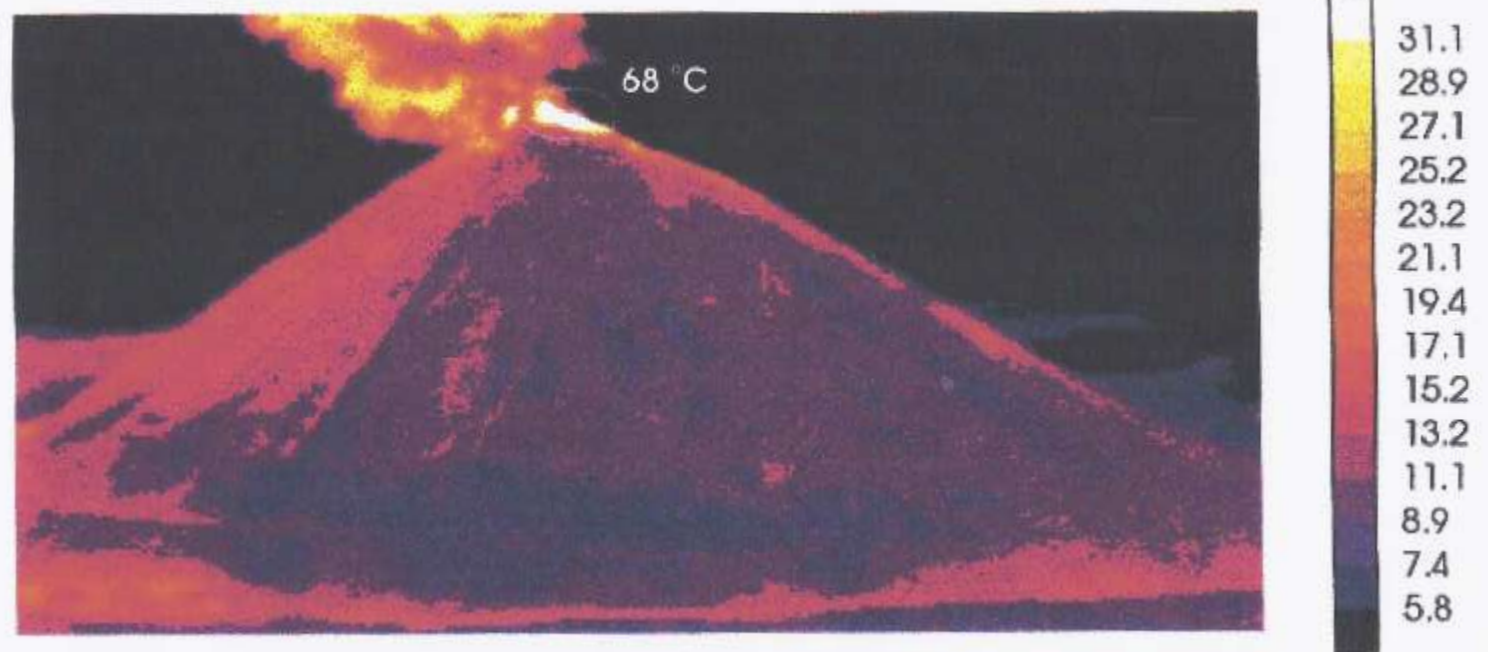


ogrzewanie podłogowe

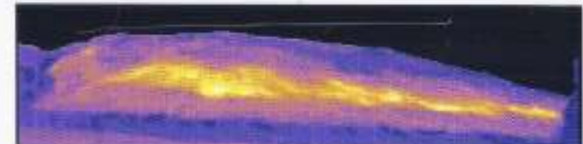
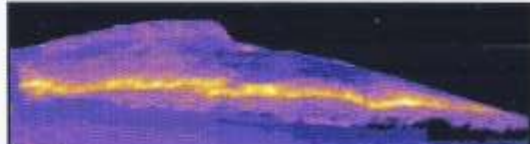
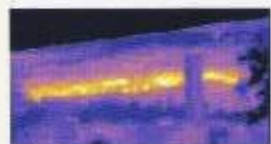
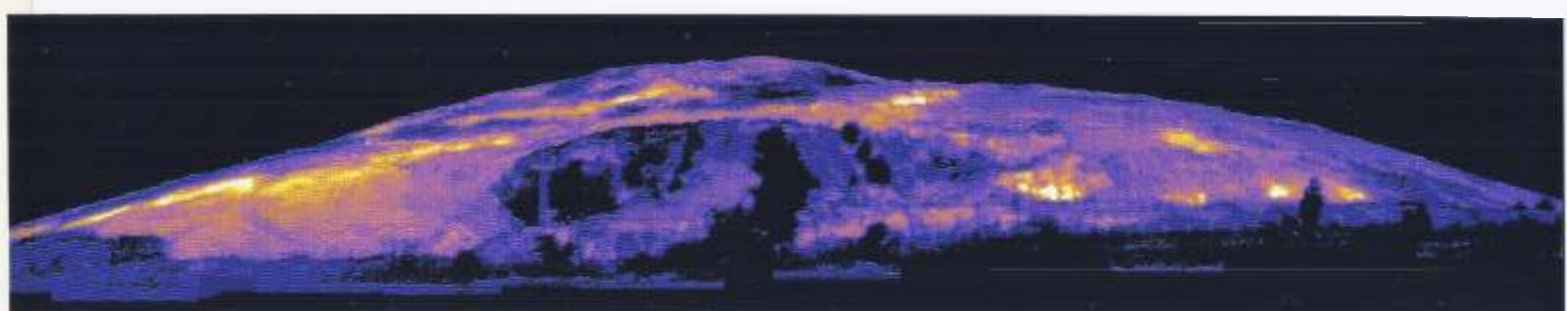


nieszczelności drzwi balkonowych

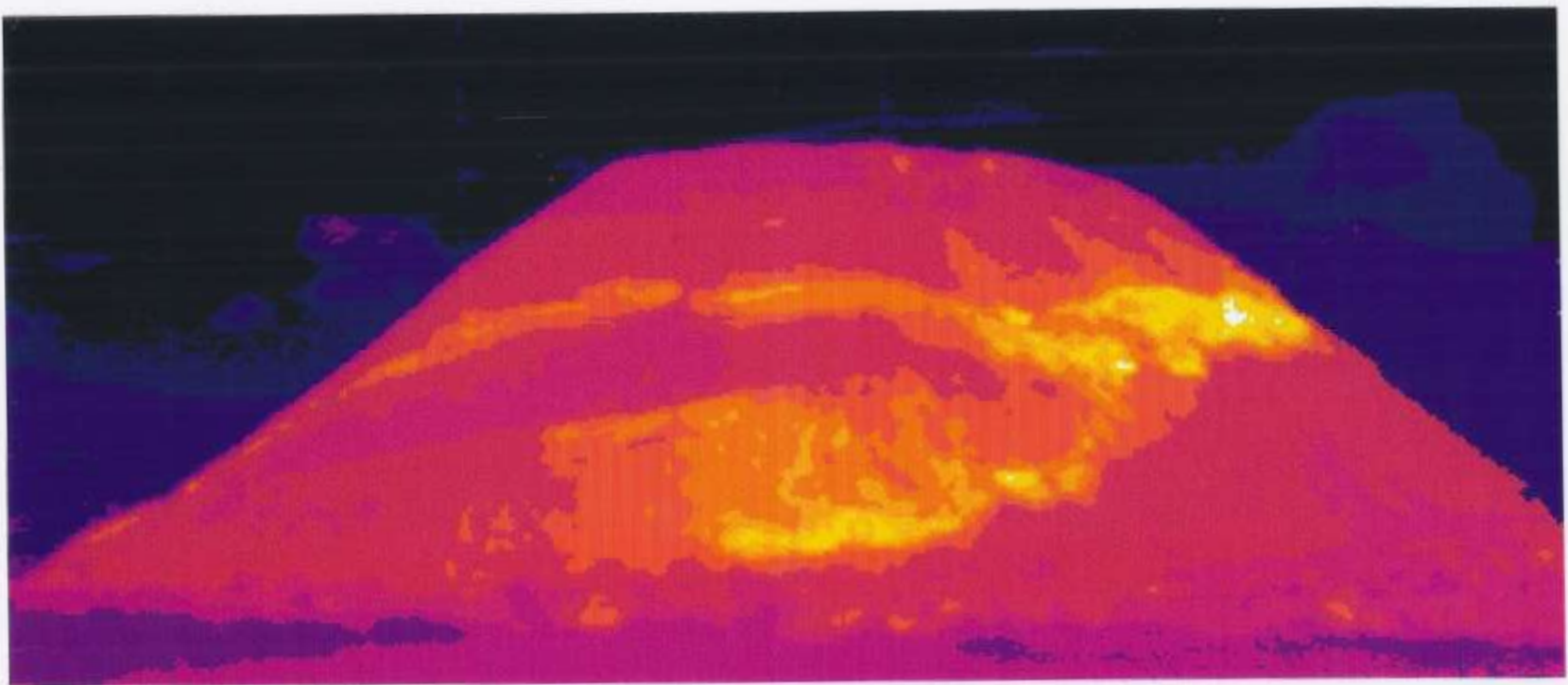
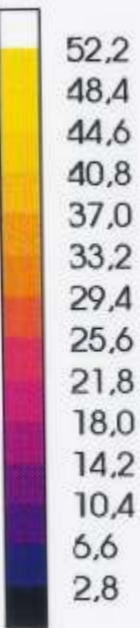


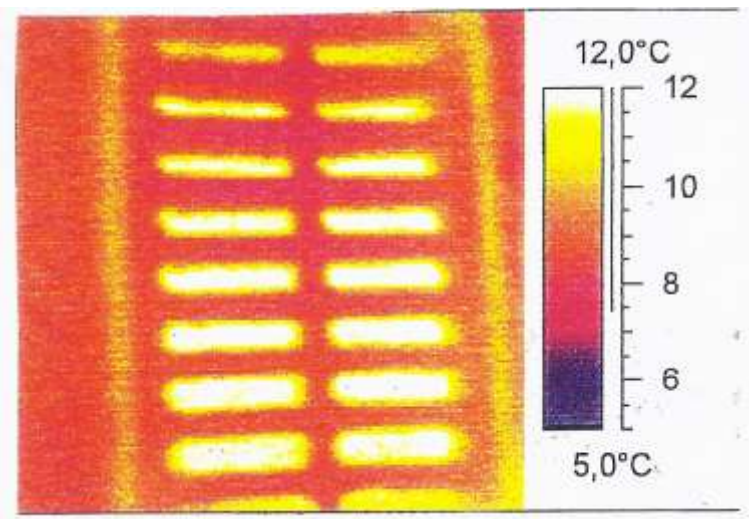
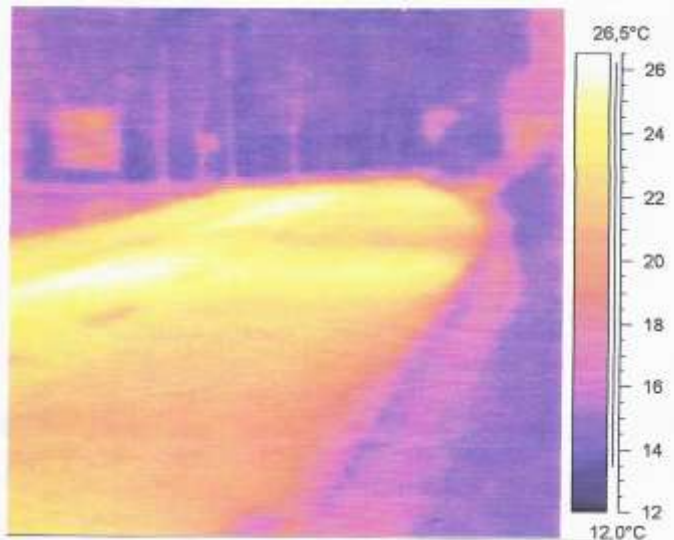
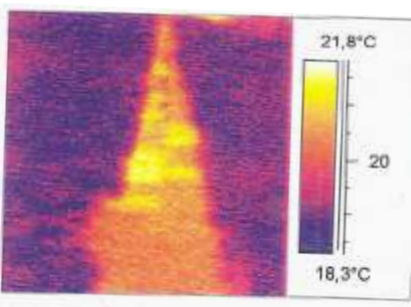
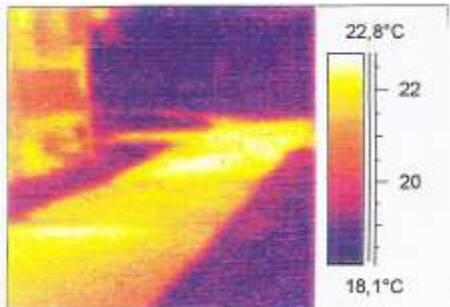


Rys. 14 Widok na stożek nr1 z punktu ST-14.



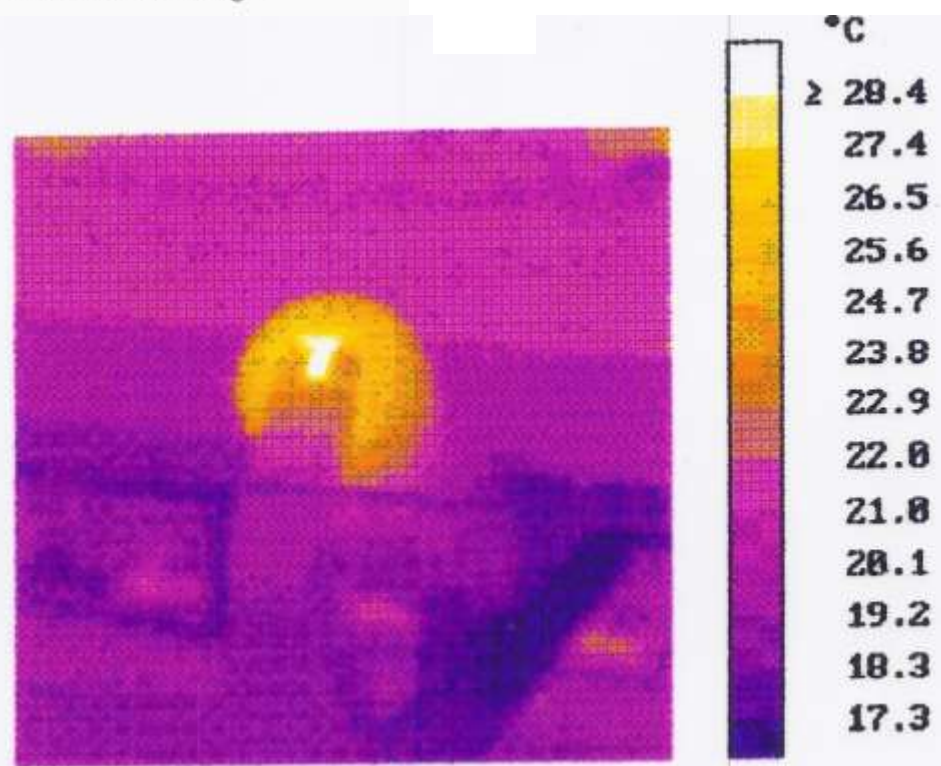
°C

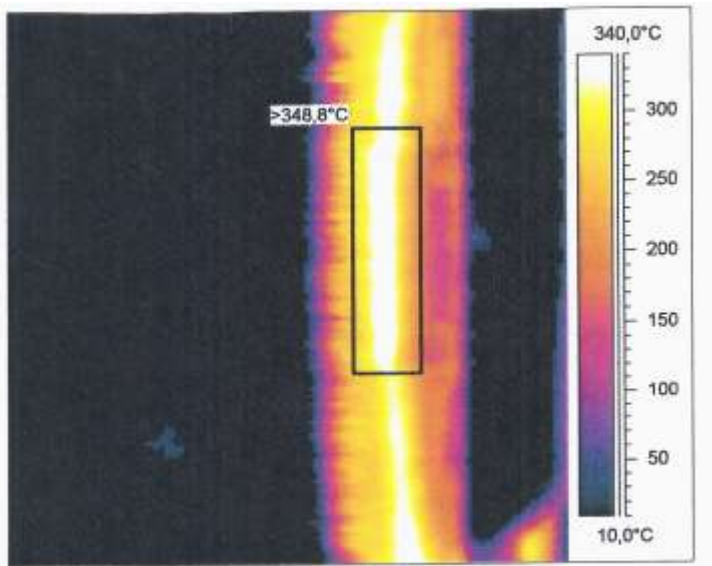




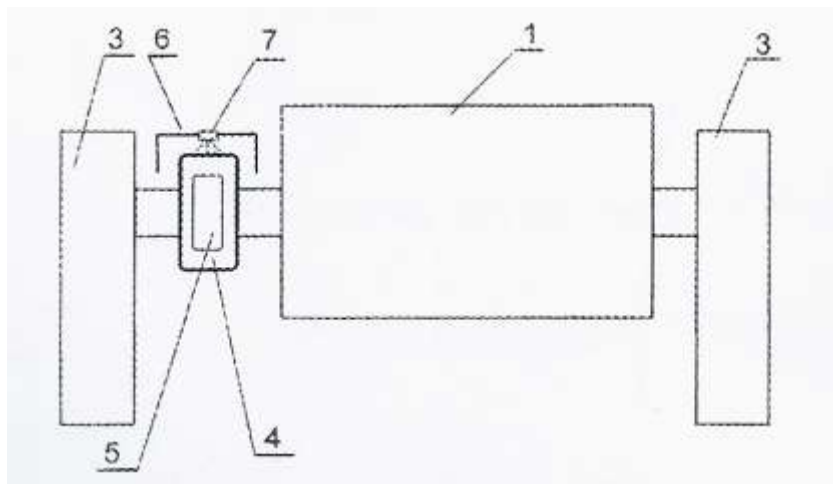
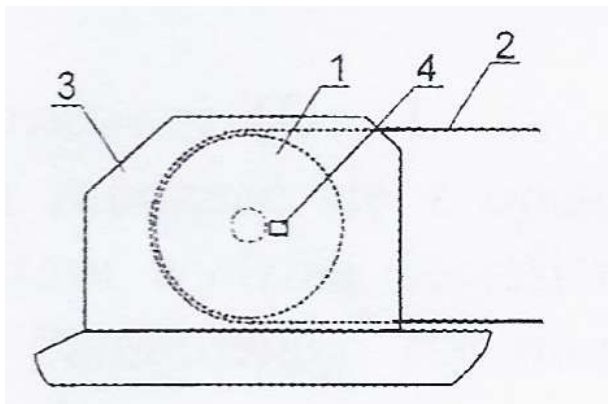
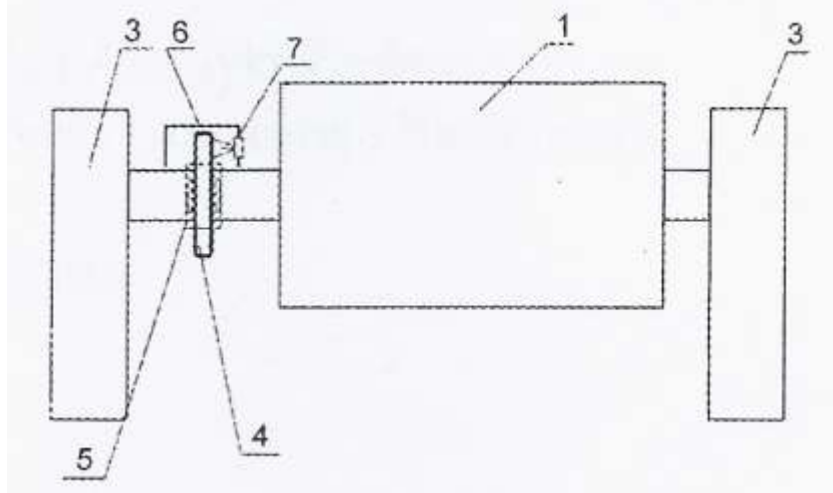


Rys. 1. Termogram uszkodzonych krążników przenośnika taśmowego





Rys. 1. Rozkład temperatury na styku klocka hamulcowego z tarczą.



**DZIĘKUJĘ ZA UWAGĘ**